

## Acoustic noise in the Virgo gravitational wave detector

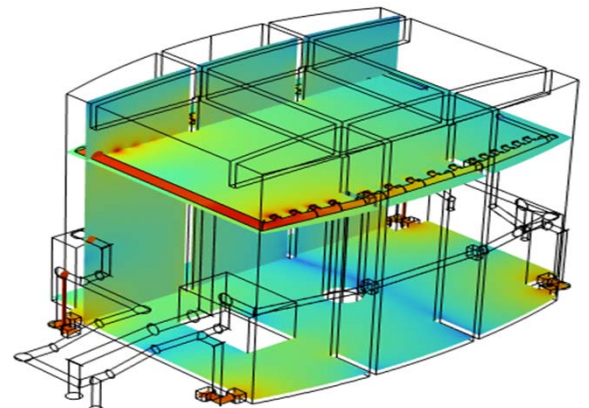
### Laum research actions

F. Gautier, L. Maurin, M. Brun, S. Terrien

#### Collaborations

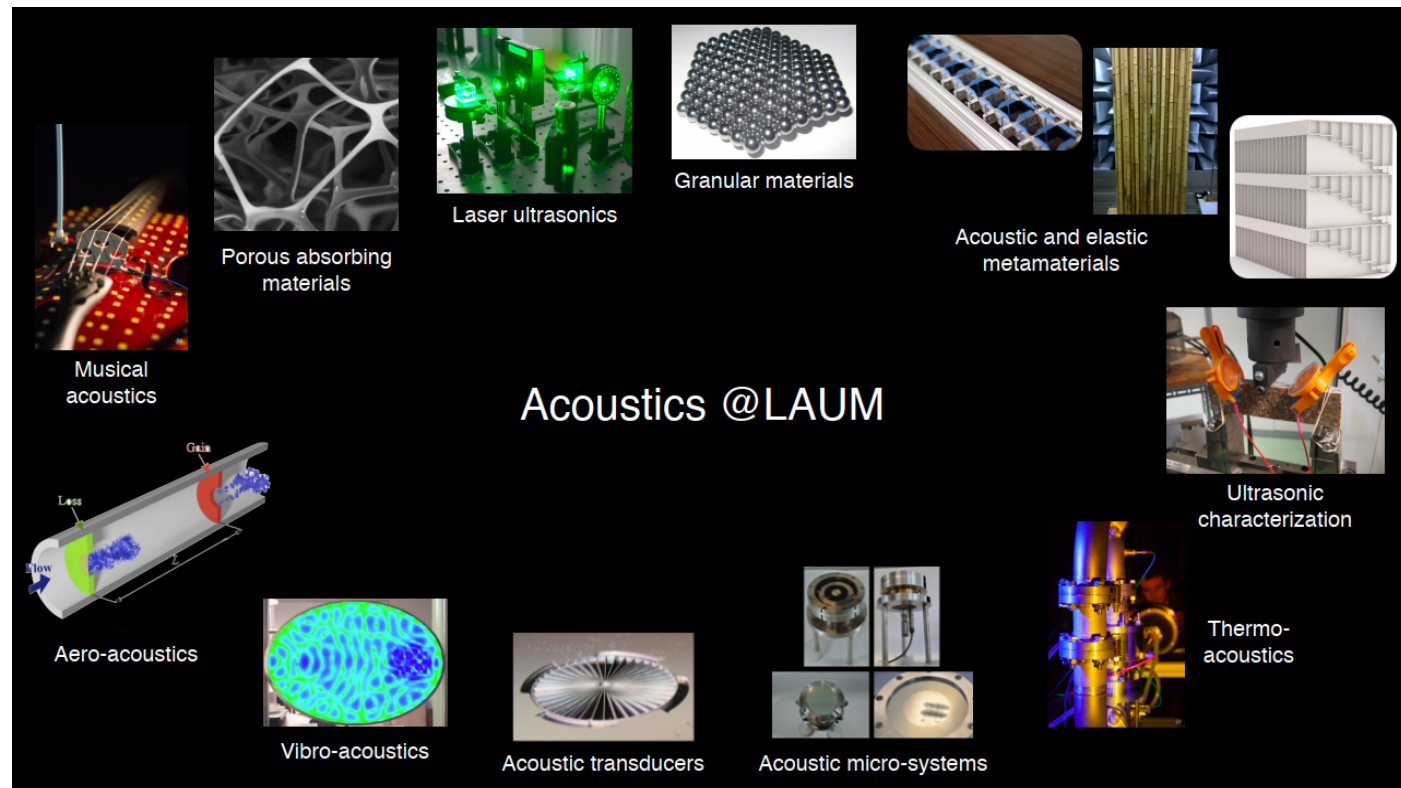
- **M. Barsuglia** (laboratoire APC, AstroParticules et Cosmologie, UMR CNRS, Paris)
- **D.Fiorucci** (INRC, Italian National Research Council, Consorzio RFX, Padua)
- **I. Fiori, M. Tringali, F. Paoletti, R. Passaquieti** (EGO, European Gravitational Observatory, Cascina)

Workshop Virgo/ET, 04-06 mars 2024, Institut Fresnel, Marseille



**Laum = Research Lab in Acoustics**  
 Joint Unit CNRS – Le Mans Université  
 170 people :  
 60 academics, 11 CNRS, 20 technical staff

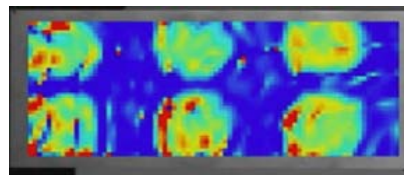
500 students per year in Acoustics  
 Licence, Master, Engineering school



# Research activities in Vibroacoustics at LAUM

## Inverse problems

- Acoustic imaging  
Near field holography and beam forming
- Source identification
- Identification of effective material properties
- Defaults identification.



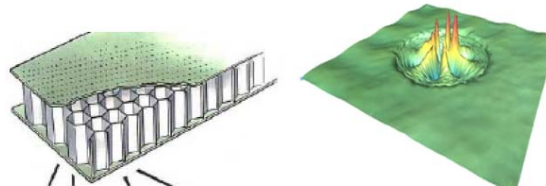
## Vibroacoustic modelling

- Squeak and rattle noise
- Numerical modelling
- Mechanical junctions

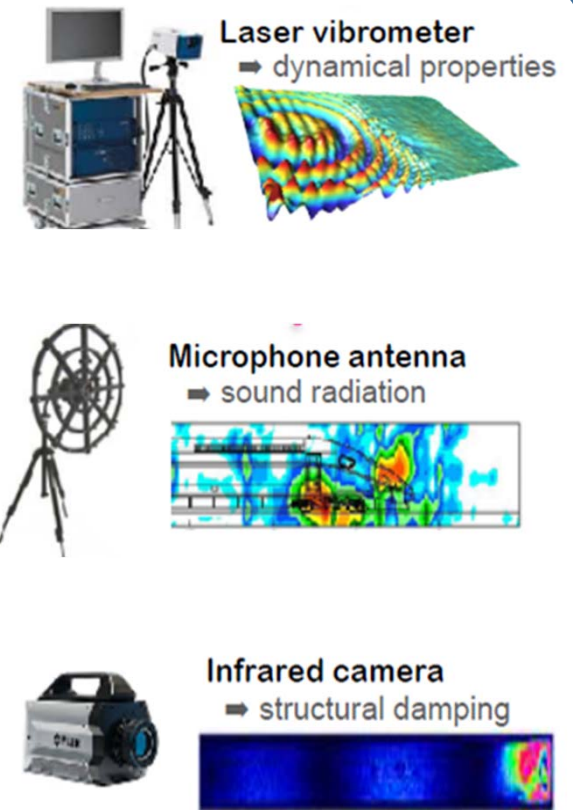


## Vibration control

- Periodic structures
- Damping using added granular media
- Microperforated panel
- Acoustic Black holes effect



## Multi-modal combined imaging



# Research lines related to GW in Laum

## Axis 1: Noise from acoustic origine

- Technical noise (HVAC,...)
- Newtonian noise
- Vibroacoustic transfer path analysis

## Axis 2: Analysis of acoustic noise reduction techniques

- Recommandation for sound absorption
- Recommandation for sound insulation

## Axis 3 : Parametric instabilities

- Instability model and mirror modal analysis.
- Periodically attached masses on wires

**Nov. 2022,  
Convention  
APC/LAUM**

**Partenaires du projet Virgo**

Partenaire	Fonction	Spécialité	Centre	Nombre de personnes impliquées dans le projet
V. Virgo	Coordinateur	Acoustique et vibration	IN2P3	10
A. Laum	Coordinateur	Acoustique et vibration	IN2P3	10
B. Institut de Mécanique et d'Acoustique	Coordinateur	Acoustique et vibration	IN2P3	10
C. Université de Marne la Vallée	Coordinateur	Acoustique et vibration	IN2P3	10
D. Université de Toulouse	Coordinateur	Acoustique et vibration	IN2P3	10
E. Université de Poitiers	Coordinateur	Acoustique et vibration	IN2P3	10
F. Université de Paris	Coordinateur	Acoustique et vibration	IN2P3	10
G. Université de Lyon	Coordinateur	Acoustique et vibration	IN2P3	10
H. Université de Bourgogne Franche Comté	Coordinateur	Acoustique et vibration	IN2P3	10
I. Université de Toulouse	Coordinateur	Acoustique et vibration	IN2P3	10
J. Université de Poitiers	Coordinateur	Acoustique et vibration	IN2P3	10
K. Université de Lyon	Coordinateur	Acoustique et vibration	IN2P3	10
L. Université de Bourgogne Franche Comté	Coordinateur	Acoustique et vibration	IN2P3	10
M. Université de Toulouse	Coordinateur	Acoustique et vibration	IN2P3	10
N. Université de Poitiers	Coordinateur	Acoustique et vibration	IN2P3	10
O. Université de Lyon	Coordinateur	Acoustique et vibration	IN2P3	10
P. Université de Bourgogne Franche Comté	Coordinateur	Acoustique et vibration	IN2P3	10
Q. Université de Toulouse	Coordinateur	Acoustique et vibration	IN2P3	10
R. Université de Poitiers	Coordinateur	Acoustique et vibration	IN2P3	10
S. Université de Lyon	Coordinateur	Acoustique et vibration	IN2P3	10
T. Université de Bourgogne Franche Comté	Coordinateur	Acoustique et vibration	IN2P3	10
U. Université de Toulouse	Coordinateur	Acoustique et vibration	IN2P3	10
V. Université de Poitiers	Coordinateur	Acoustique et vibration	IN2P3	10
W. Université de Lyon	Coordinateur	Acoustique et vibration	IN2P3	10
X. Université de Bourgogne Franche Comté	Coordinateur	Acoustique et vibration	IN2P3	10
Y. Université de Toulouse	Coordinateur	Acoustique et vibration	IN2P3	10
Z. Université de Poitiers	Coordinateur	Acoustique et vibration	IN2P3	10

**Actions à mettre en place**

Axis 1 : contribution au contrôle des instabilités paramétriques aéro-acoustiques du détecteur

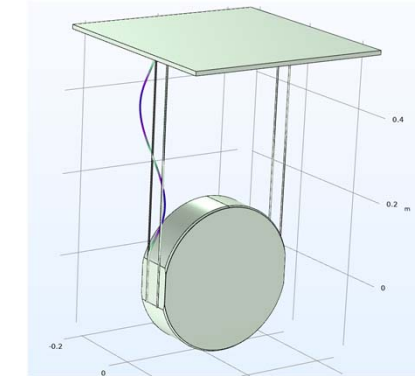
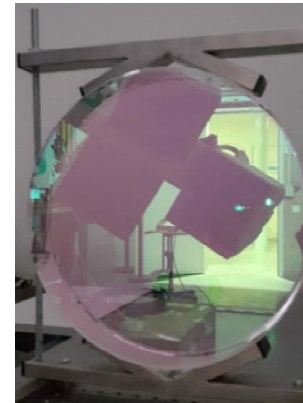
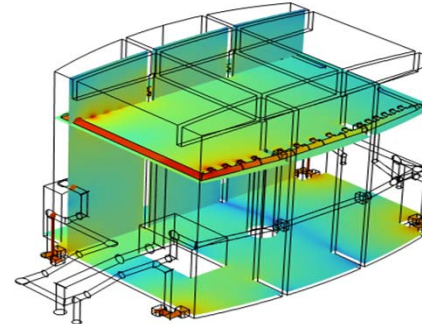
L'interféromètre Virgo est le stage d'instabilités paramétriques, engendrées par couplage aéro-acoustique entre les deux ondes d'oscillation et les ondes de fond de l'onde de gravité. Le gant de cette instabilité est la présence d'instabilités paramétriques aéro-acoustiques entre les modes d'oscillation et les modes de fond de l'onde de gravité, conduisant finalement aux modes d'oscillation et aux modes de fond de l'onde de gravité. Ainsi, pour contrôler ces instabilités, il faut éliminer les instabilités paramétriques aéro-acoustiques entre les modes d'oscillation et les modes de fond de l'onde de gravité. Cela peut être fait en utilisant des méthodes de contrôle basées sur la modélisation et la simulation des instabilités paramétriques aéro-acoustiques.

Axis 2 : contribution au développement de matériaux et de structures pour réduire les perturbations acoustiques

Le détecteur Virgo utilise des matériaux et des structures pour réduire les perturbations acoustiques. Ces matériaux et structures sont utilisés pour réduire les perturbations acoustiques entre les modes d'oscillation et les modes de fond de l'onde de gravité. Les matériaux et les structures utilisés sont choisis en fonction de leur capacité à réduire les perturbations acoustiques. Les matériaux et les structures utilisés sont également choisis en fonction de leur durabilité et de leur résistance aux environnements.

Axis 3 : contribution au développement de modèles et de méthodes pour prévoir et prévenir les instabilités paramétriques

Le détecteur Virgo utilise des modèles et des méthodes pour prévoir et prévenir les instabilités paramétriques. Ces modèles et méthodes sont utilisés pour prévoir et prévenir les instabilités paramétriques entre les modes d'oscillation et les modes de fond de l'onde de gravité. Les modèles et méthodes utilisés sont choisis en fonction de leur capacité à prévoir et à prévenir les instabilités paramétriques.



## Noise from acoustic origin

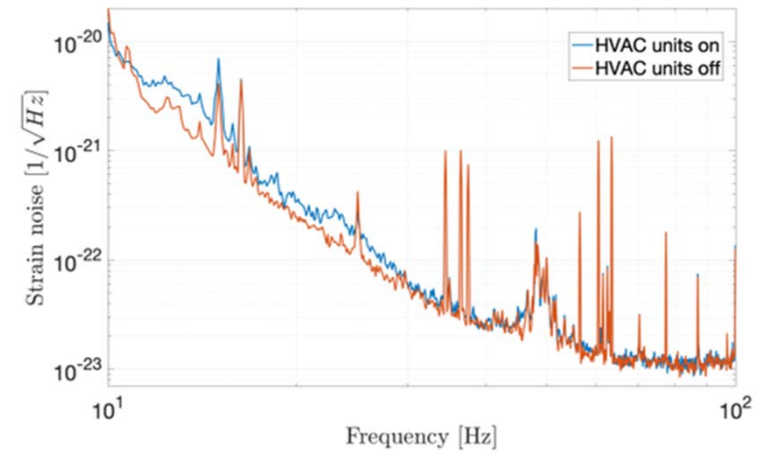
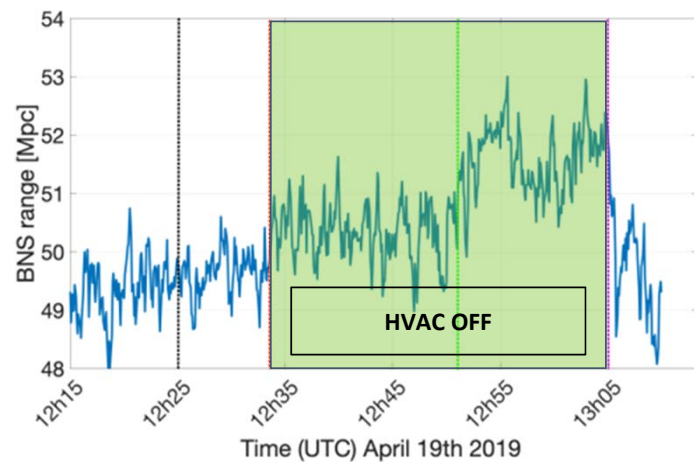
HVAC = Heating, Venting, Air Conditioning

Experimental evidence of the HVAC acoustic contribution to strain noise :

HVAC Off in 2 labs of CEB in 2019

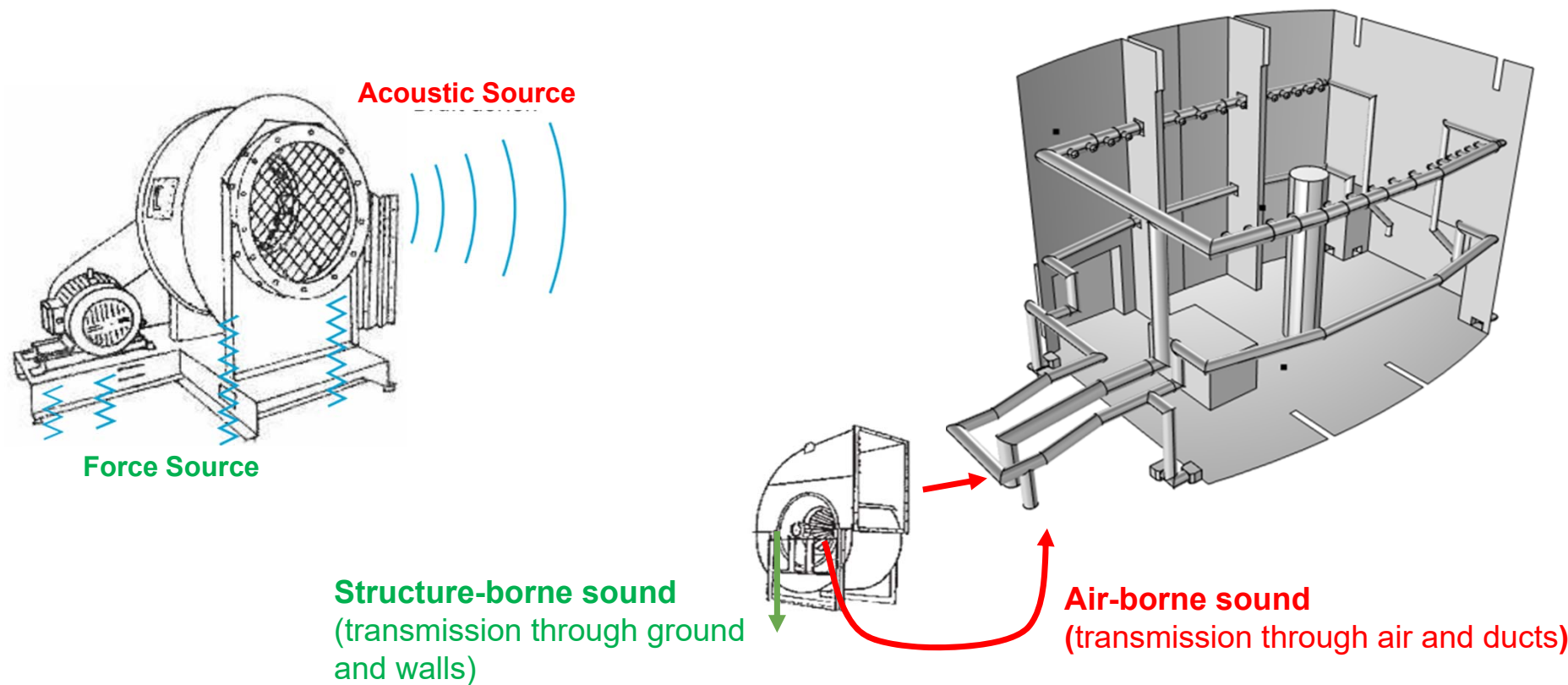
$$\Rightarrow \Delta L/L$$

BNS



## HVAC noise

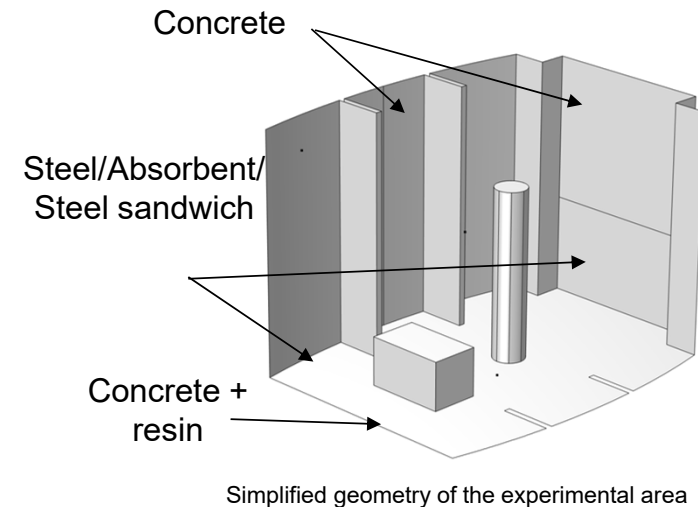
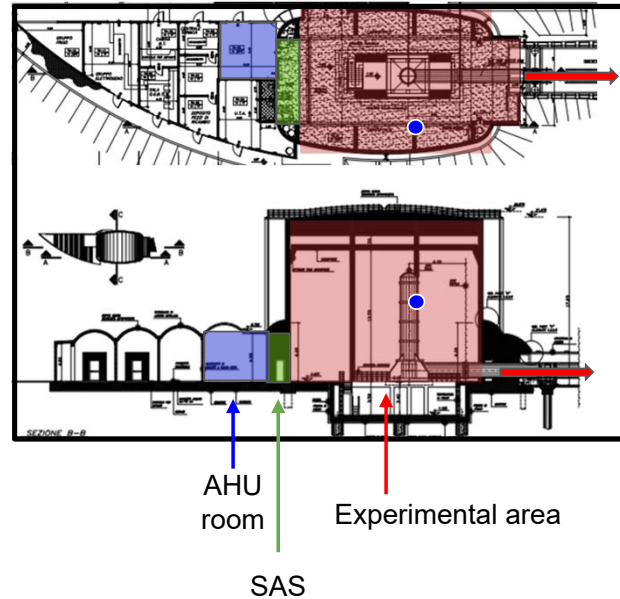
- HVAC => pressure pulsation in the infrasound range => Tower or viewport vibrations => scattered light noise => Newtonian Noise
- Aim: modeling the noise transmission path between HVAC equipments and detector's sensitivity



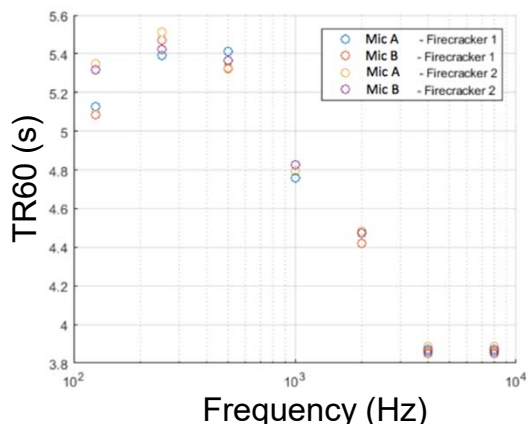
## NEB characteristics (TR60, $f_s$ , $\alpha$ )



North Terminal Building



- M. Falxa et al, 2018\* => acoustic characterization



\*VIR-0673A-18

$$TR60 = 0.161 \frac{V}{\sum_i^n S_i \alpha_i}$$

$$F_s = 2000 \sqrt{\frac{T_{60}}{V}} *$$

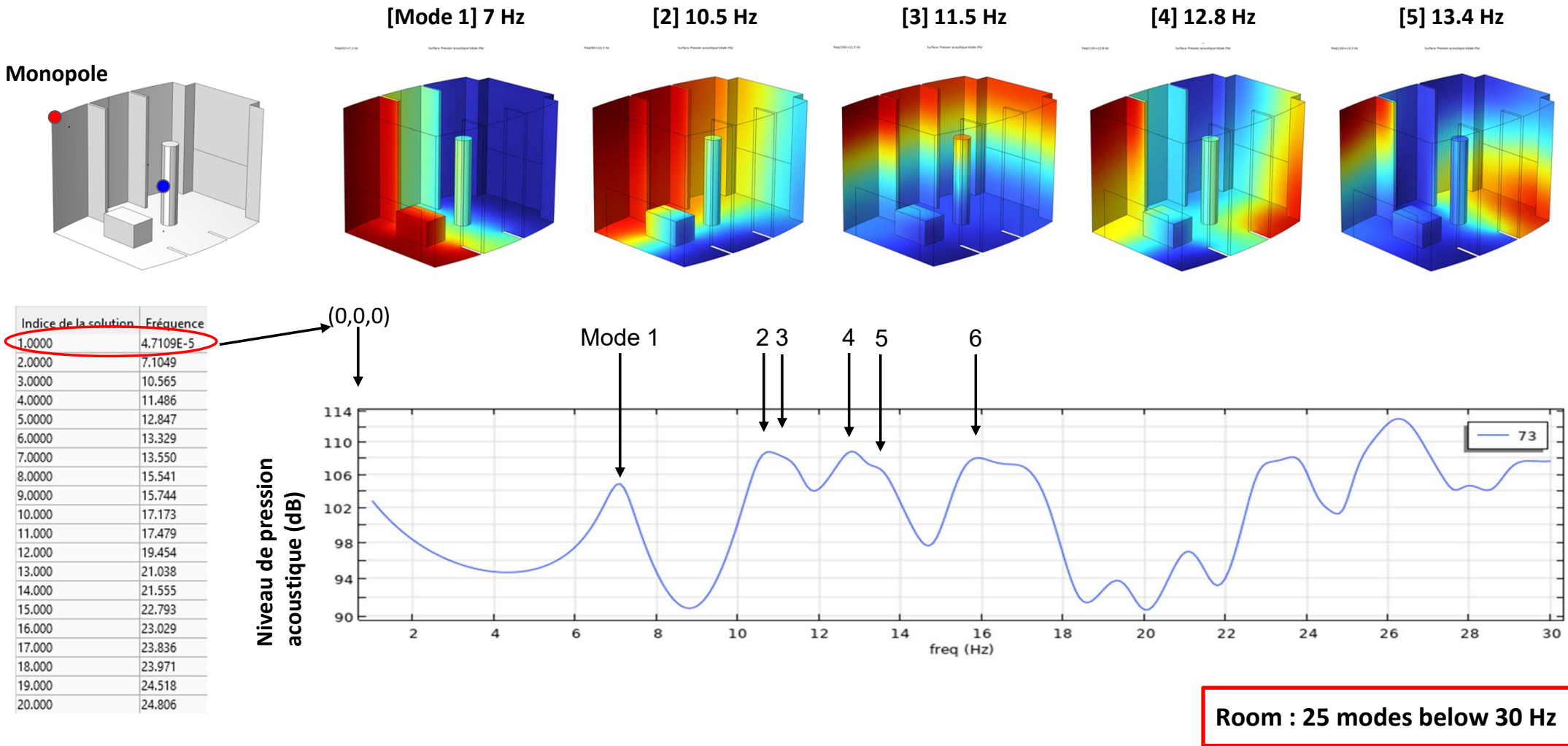
↑  
Room volume

**Reverberation time**  
**TR60 = 4.7 s**

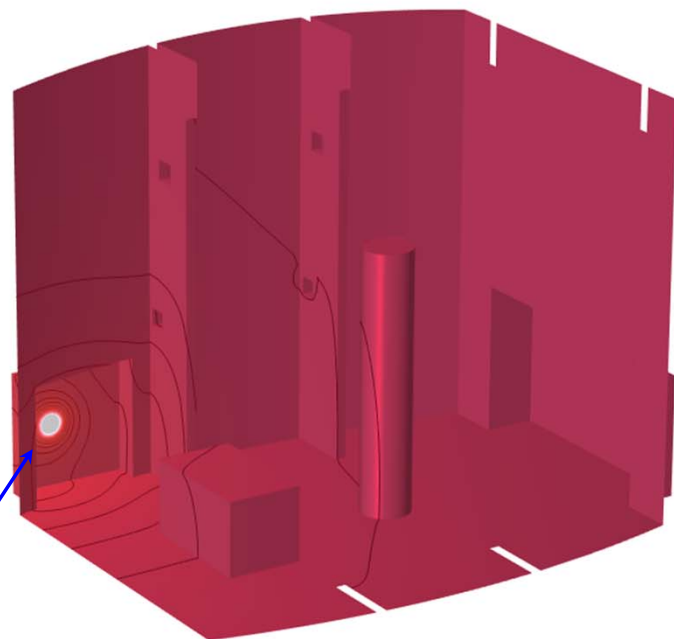
**Schroeder frequency**  
**Fs = 50 Hz**  
⇒ **Modal acoustics if f < 50Hz**

**Average absorption coefficient**  
**α = 0.1**

## Acoustic response of the NEB resulting from a single monopole placed in a corner



## Influence of the leaks (doors, ducts, walls)



Artificial leakage representing distributed  
and not well identified holes in the building

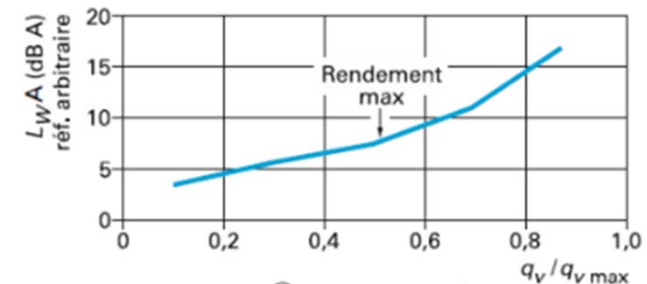
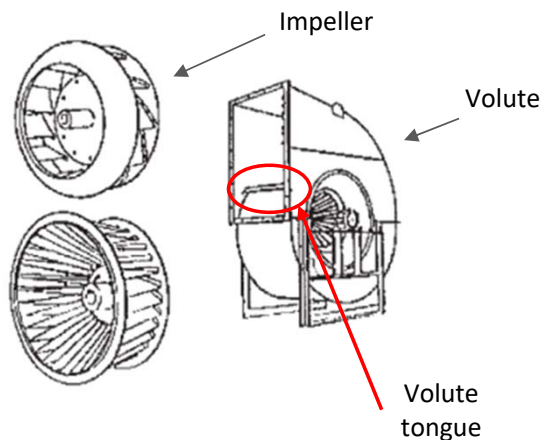
Without leaks	With leaks
5.6091E-13	0.85763
7.4368	7.5451
9.9835	10.076
10.823	10.939
12.136	12.289
13.244	13.417
13.892	13.926
14.517	14.633
16.021	16.203
16.231	16.233
16.353	16.442
18.637	18.767
19.577	19.578
20.178	20.206
21.059	21.073
21.174	21.226
21.893	21.899
22.581	22.649
22.819	22.851

Appearance  
of a low  
frequency  
Helmholtz  
mode

A (strongly) damped acoustic mode is created by the leaks at very low frequency  
Importance of the leaks at very low frequency acoustic response !

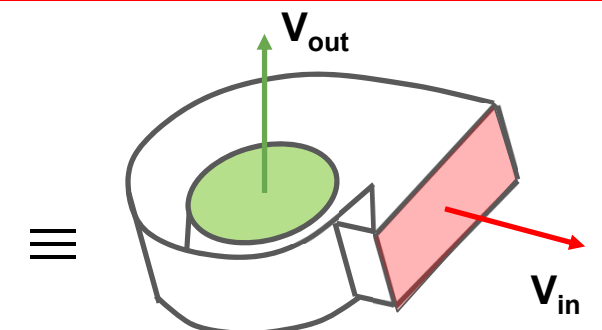
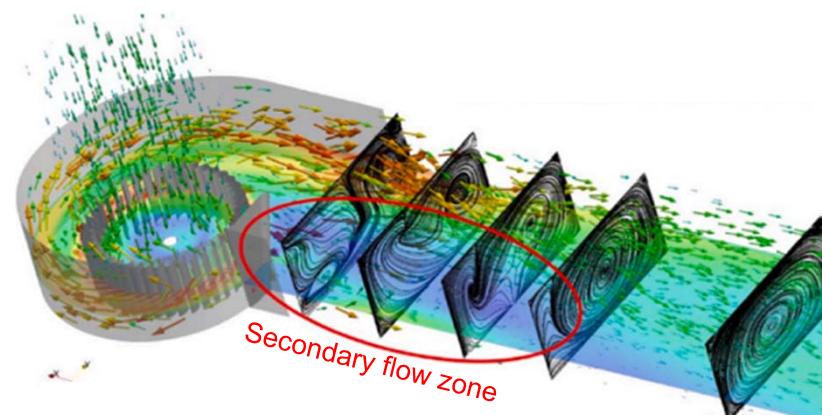
## Acoustic sources equivalent to the HVAC

Source of problems is a reverse blade centrifugal fan located in the technical area



**Sound level = power law of the air flow (or velocity)**

$$L_p \propto u^n \text{ with } n = 4; 6; 8$$



$$V_{in} = V_{out} = 1 \text{ m/s}$$

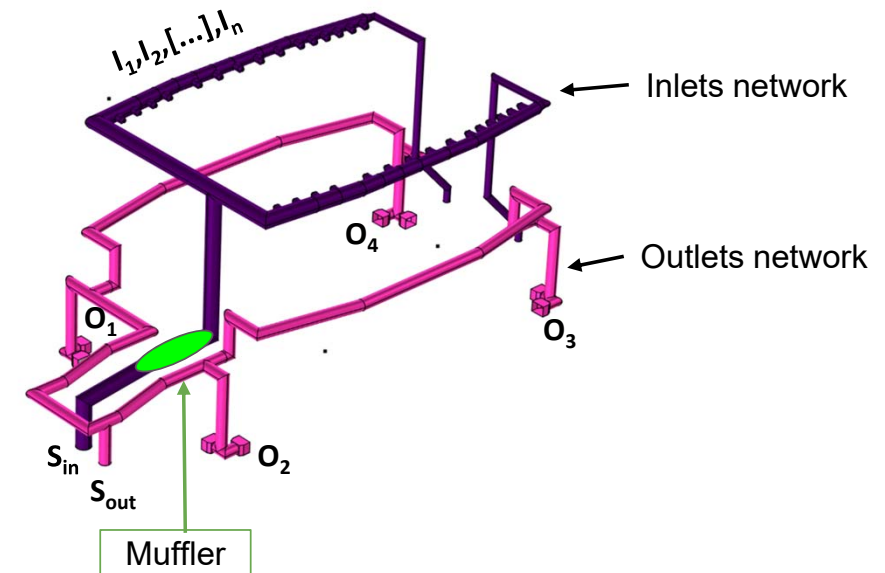
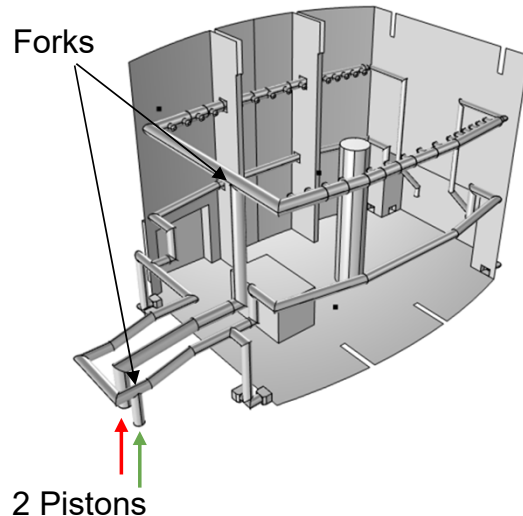
Aeroacoustic behavior => high complexity

=> Represented by 2 equivalent acoustic pistons (Velocities  $V_{out}$  and  $V_{in}$ )

\*B. Jiang et al, Journal of Building Engineering, 2023

## Ducts acoustic – inlets and outlets networks

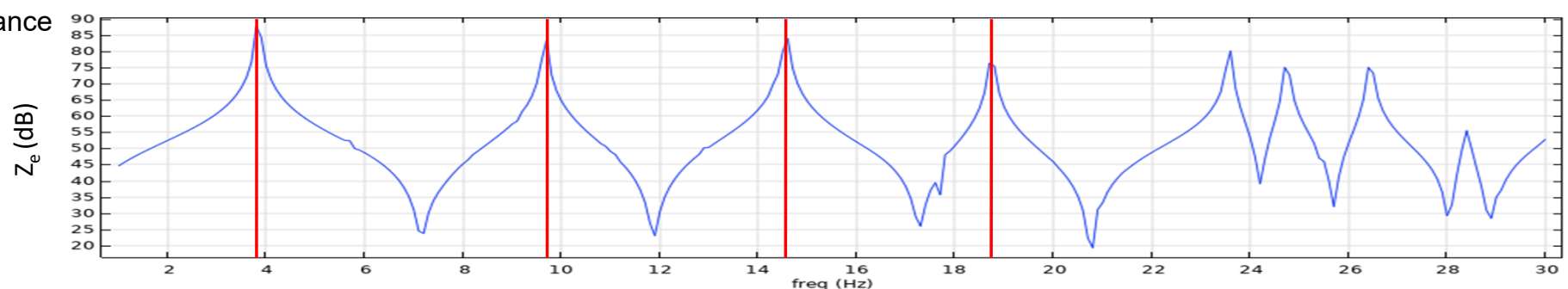
- 2 ducts networks
  - Air inlet
  - Air outlet



Acoustic input impedance  
of the Inlets network

$$Z = \frac{P}{V}$$

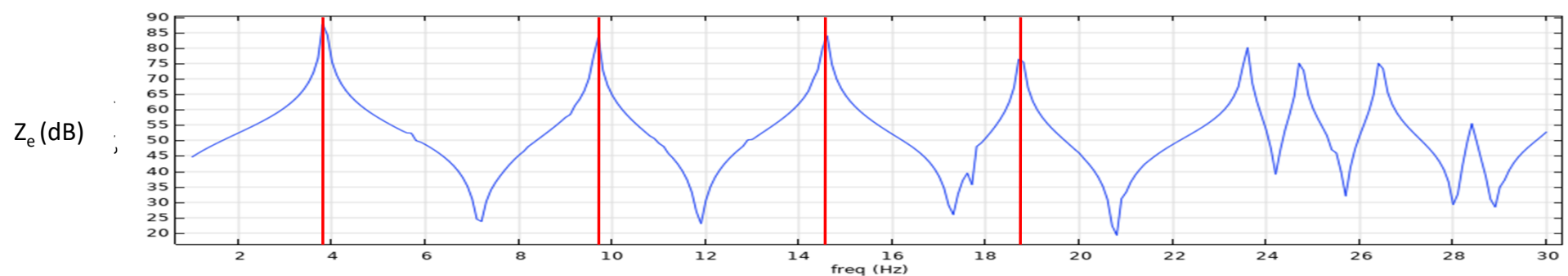
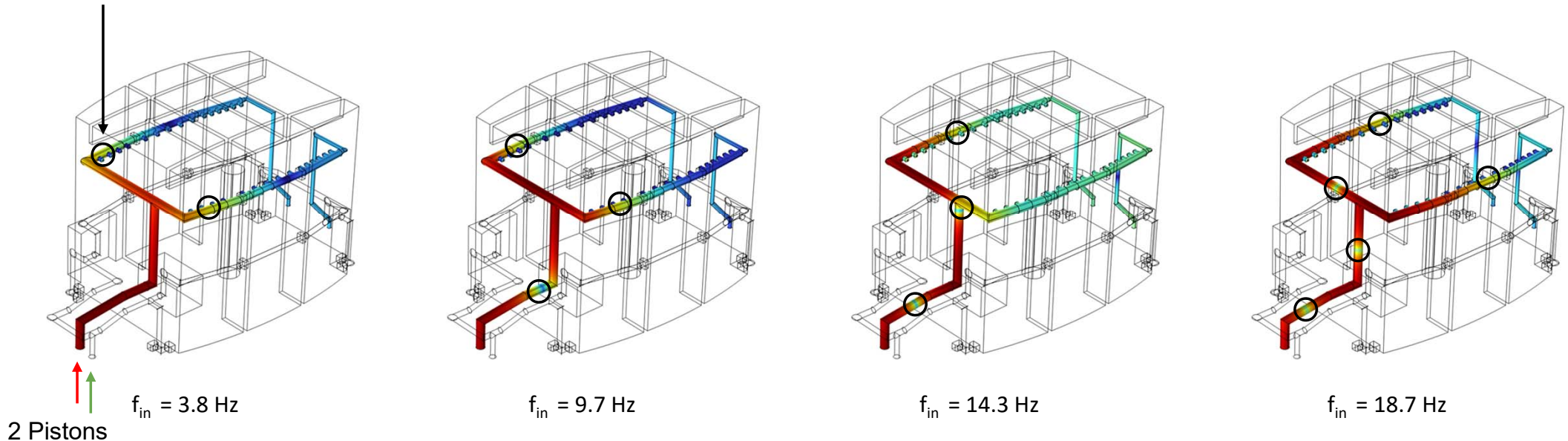
P : acoustic pressure  
V : acoustic velocity



Inlets network : 8 modes below 30 Hz

## Acoustic modes of the inlets ducts

Yellow = Pressure Node

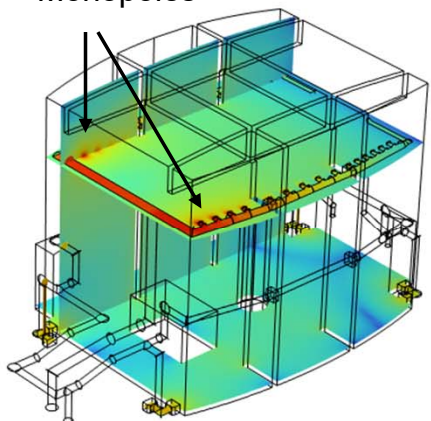


=> Duct resonances. Modal shapes characterised by internal nodes.

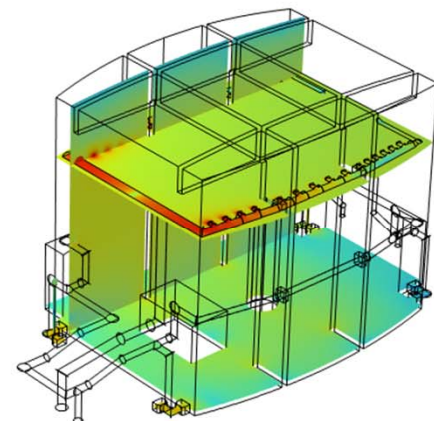
First mode =  $\lambda/4$  mode

## Acoustic radiation from the inlets ducts

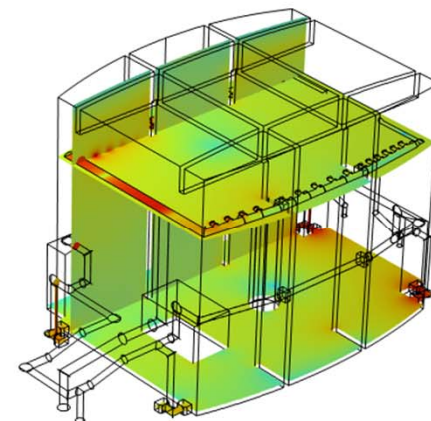
Monopoles



$$f_{in} = 3.8 \text{ Hz}$$

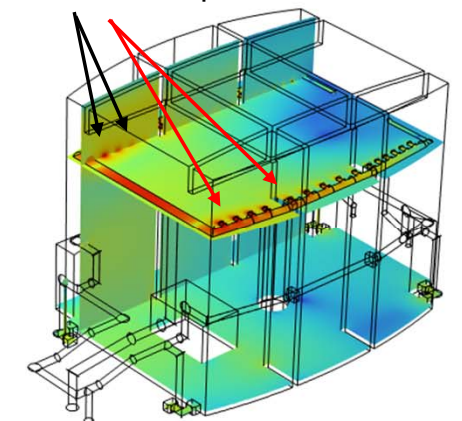


$$f_{in} = 9.7 \text{ Hz}$$

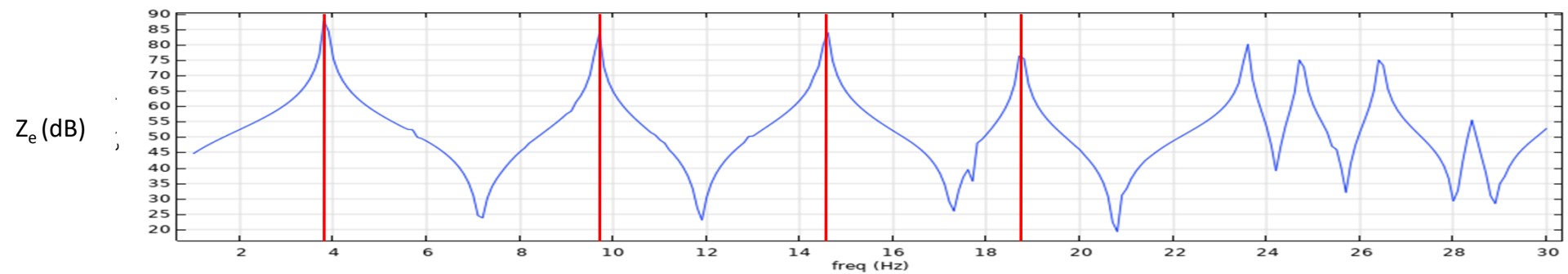


$$f_{in} = 14.3 \text{ Hz}$$

Series of Monopoles



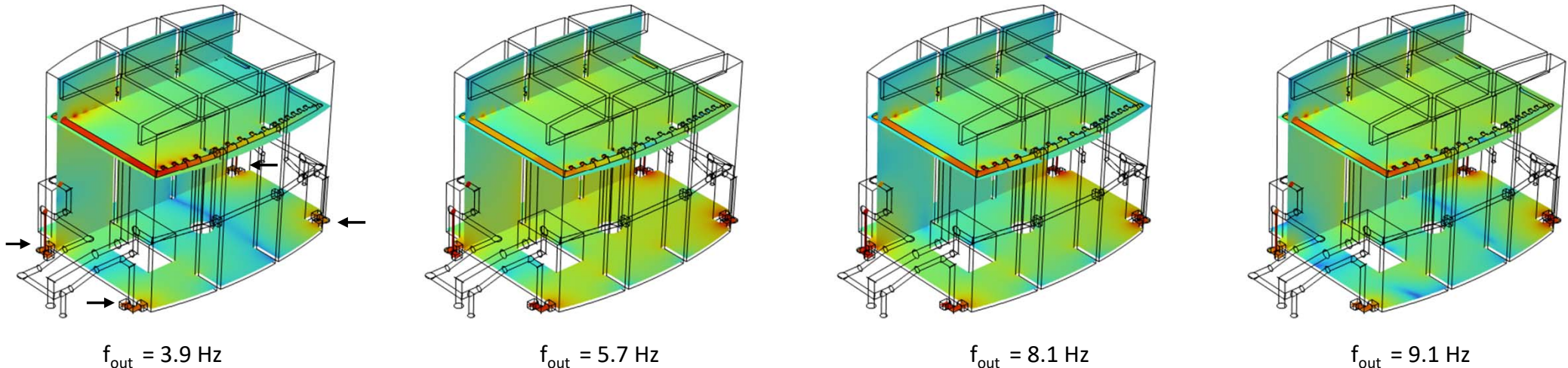
$$f_{in} = 18.7 \text{ Hz}$$



=> Inlets are equivalent to 2 series of acoustic monopoles

## Acoustic radiation from the outlets ducts

4 corners monopoles

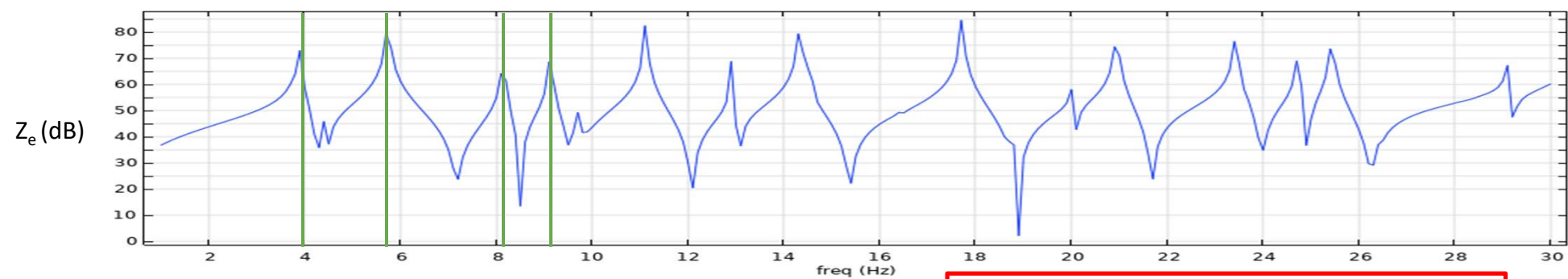


$$f_{out} = 3.9 \text{ Hz}$$

$$f_{out} = 5.7 \text{ Hz}$$

$$f_{out} = 8.1 \text{ Hz}$$

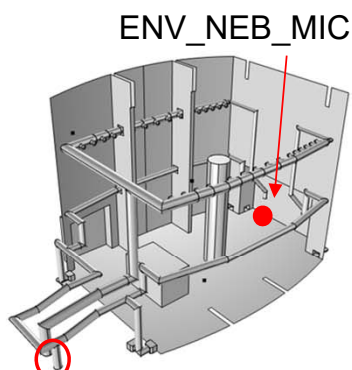
$$f_{out} = 9.1 \text{ Hz}$$



=> Outlets are equivalent to 4 acoustic monopoles

Outlets network : 16 modes below 30 Hz

## Simulation and measurement of the acoustic field in the NEB



$$\alpha_{room} = 0.097$$

$$\alpha_{in} = 0.09$$

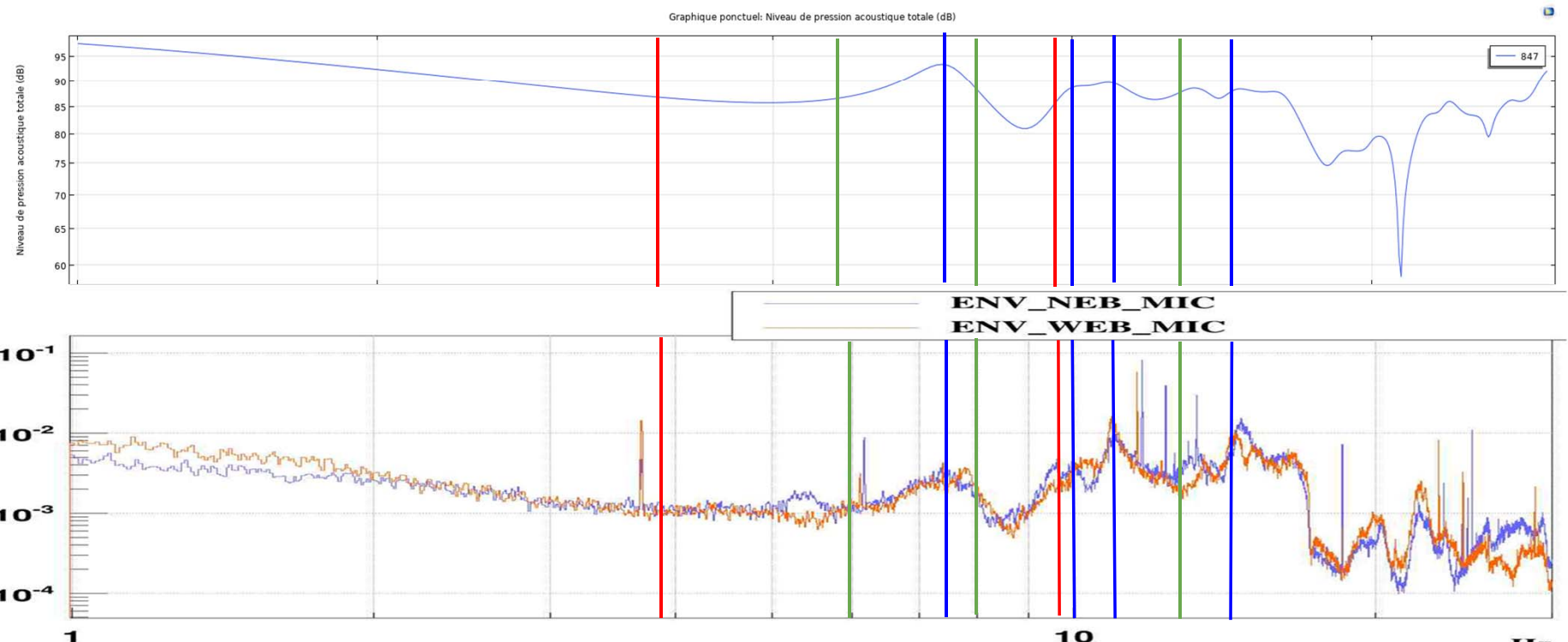
$$\alpha_{out} = 0.11$$

Tuning =>  
 $V_p = 3 \cdot 10^{-3} \text{ m/s}$   
 Piston equivalent  
 to the fan

Absorption coefficient of the room and ducts

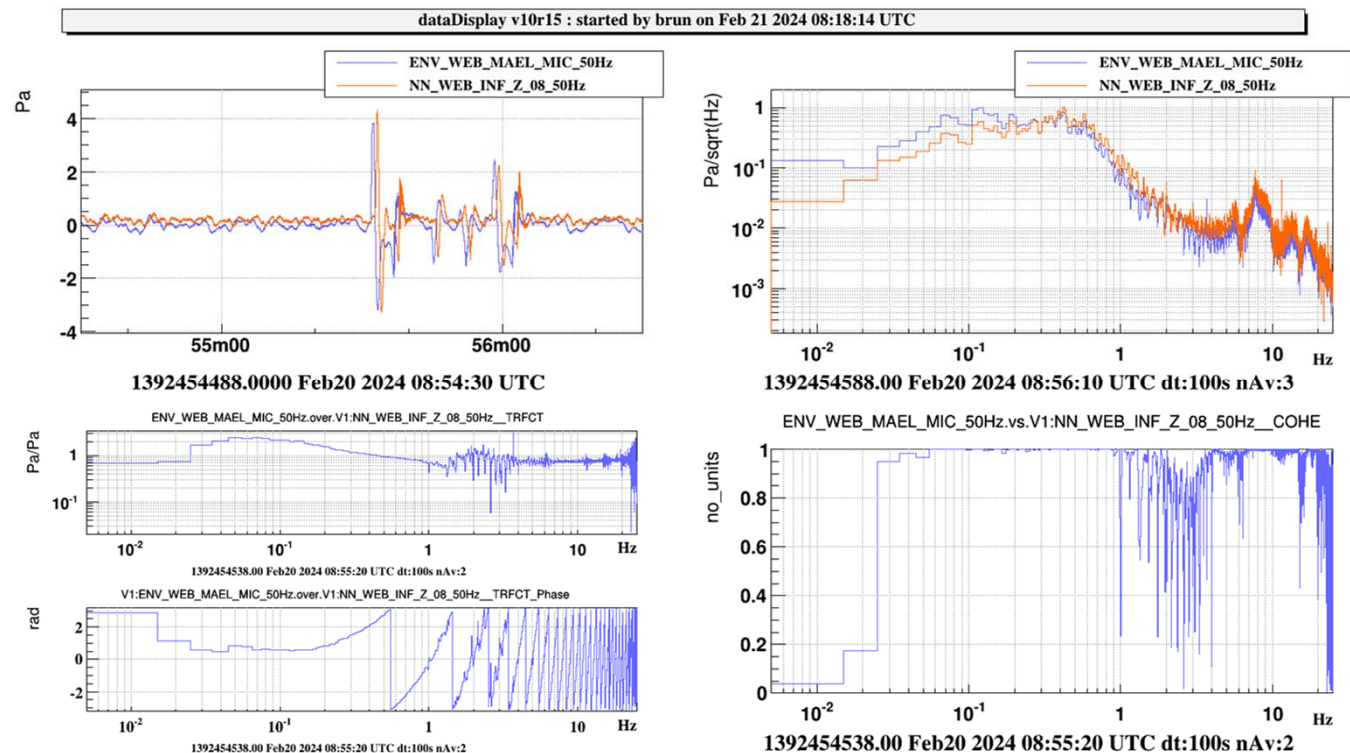
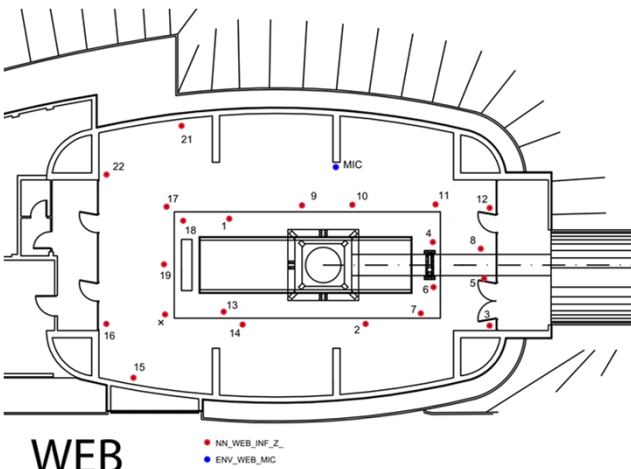
⇒ Smooth response resulting from the modal overlap

- Inlets ducts modes
- Outlets ducts modes
- Room modes



Acoustic model of the NEB validated

## Systematic acoustic measurements in the WEB (in course)



- Microphones array by T. Bulik, M. Suchenek, University of Warsaw, Poland
- Calibration using a Brüel and Kjaer reference microphone (APC)

## Application 1 : estimation of the newtonian noise from acoustic origin

Mass density is proportional to acoustic pressure:

$$\delta\rho(\mathbf{r}, t) = \frac{\rho_0}{\gamma P_0} \delta P(\mathbf{r}, t) = \frac{\rho_0}{\gamma P_0} \sum \text{Modal expansion}$$

=> Perturbations of the gravity potential

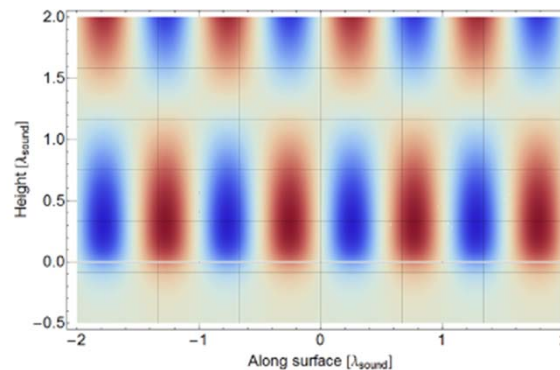
$$\delta\Phi(\mathbf{r}) = -G \int \frac{\delta\rho(\mathbf{r}')}{|\mathbf{r} - \mathbf{r}'|} dV'$$

$$\delta\phi(\mathbf{r}) = \sum b_n(t)\psi_n(\mathbf{r})$$

Modal expansion

Gravity acceleration along a horizontal direction produced by a plane infrasound wave (oblique incidence  $7\pi/6$ ) reflecting on a rigid wall

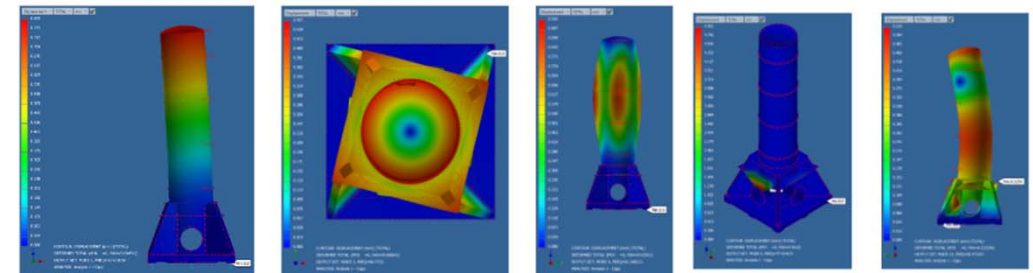
J. Harms, Terrestrial gravity fluctuations,  
DOI : 10.107/s41114-019-0022-2



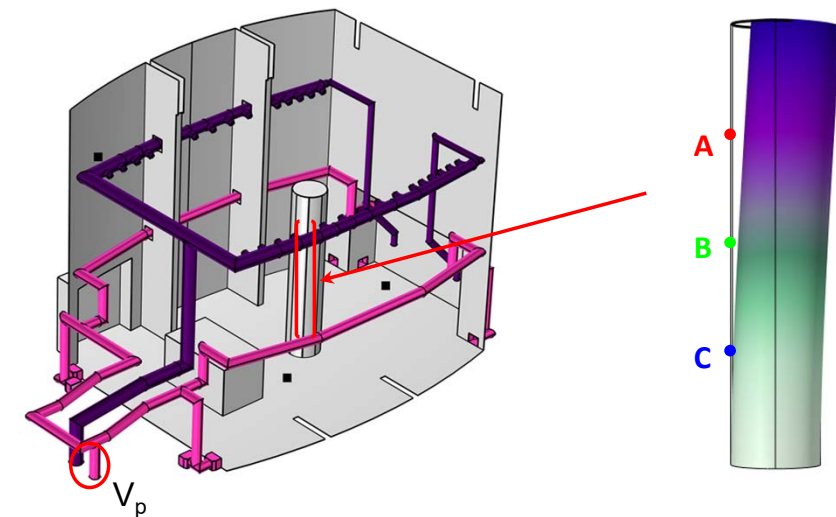
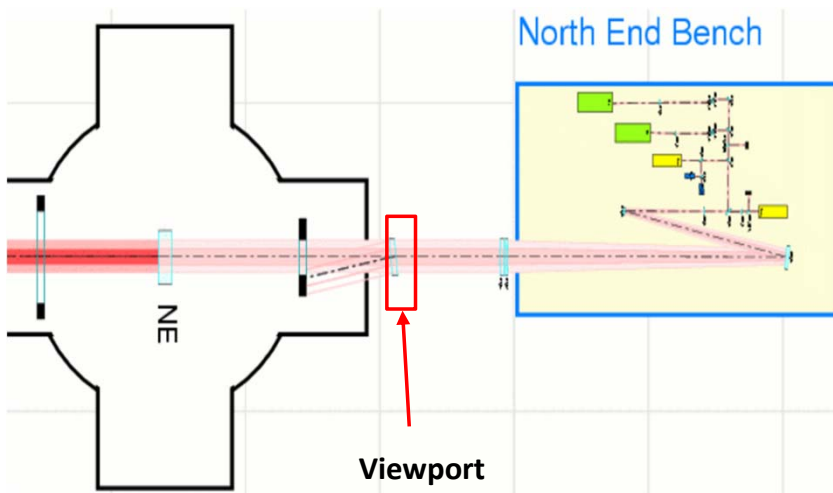
## Application 2 : simulation of the tower vibration induced by the acoustic field

- FEM modal analysis => first bending mode 21 Hz
- => equivalent to a cylinder with equivalent mass and stiffness
- Damping ratio of 1%

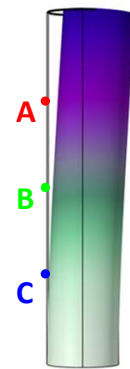
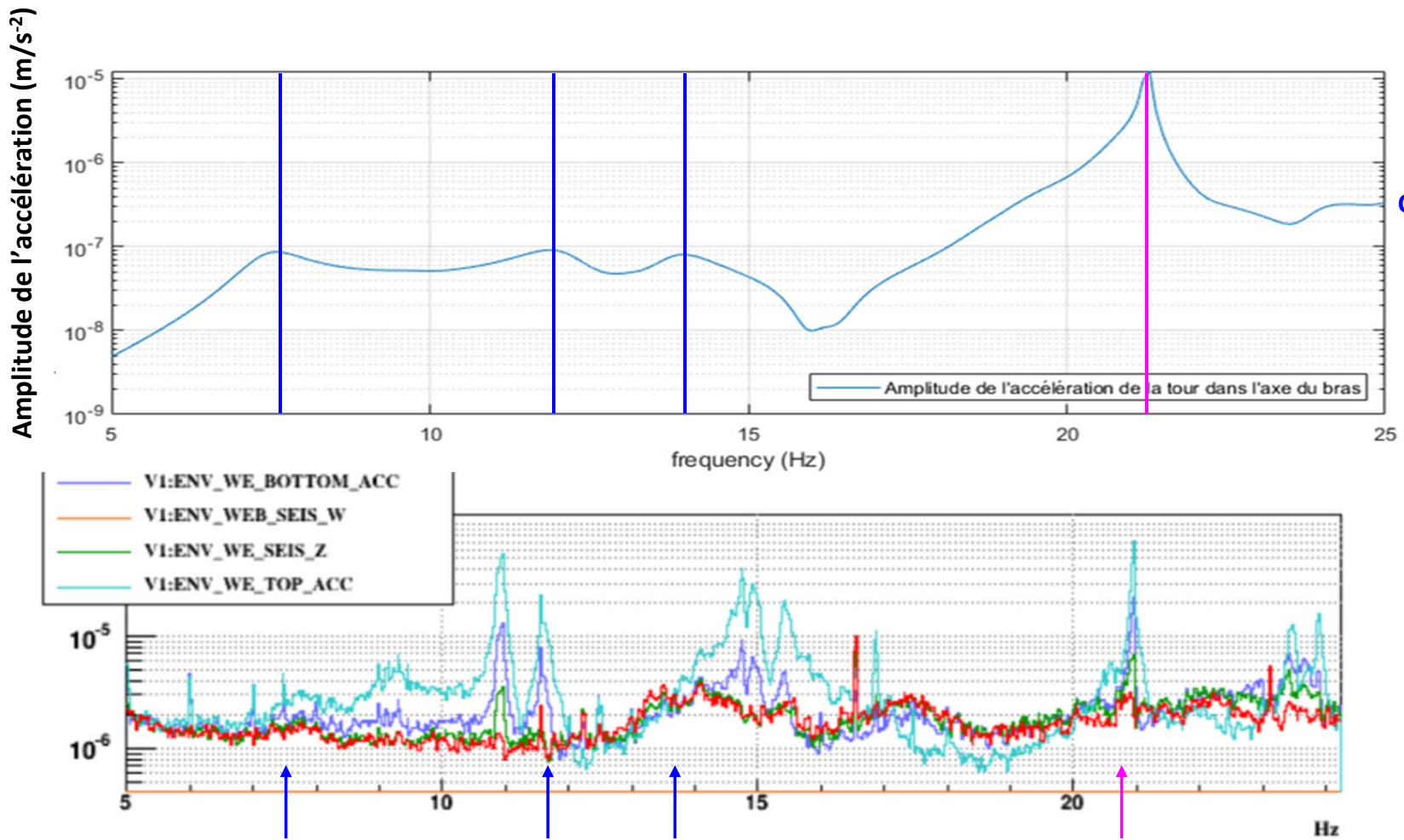
Mode	Frequency (Hz)
1	20.9159
2	21.017
3	60.7733
4	61.6481
5	66.1167
6	77.4147
7	77.5606
8	77.7618
9	78.4267
10	85.4733



Numerical modal analysis by J.Gargiulo (2023)



## Order of magnitude of the amplitude of acceleration of the tower'bottom

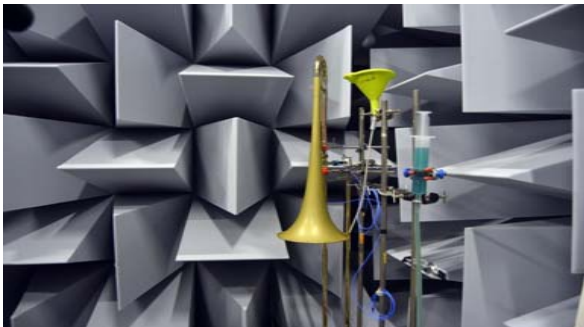


$$V_p = 3 \cdot 10^{-3} \text{ m/s}$$

The measured level of acceleration (deep blue curve) at the bottom of the tower is 10 times higher than the predicted level

=> structure borne excitation not taken into account

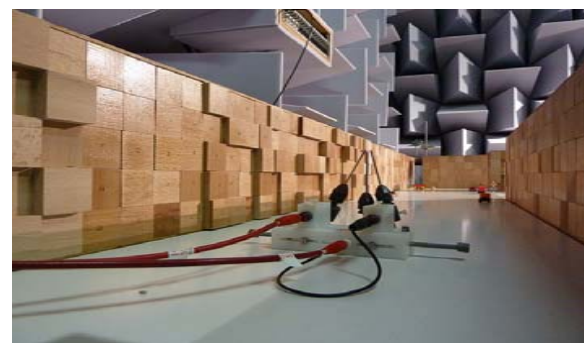
## Chambre anéchoïque



Rayonnement d'une source



Transmission à travers un réseau périodique



Propagation dans une maquette de rue

## Grande salle Anéchoïque du LNE

LABORATOIRE NATIONAL DE MÉTROLOGIE ET D'ESSAIS **LNE**

Longueur 9 m  
Largeur 8 m  
Hauteur 7 m  
Hauteur / treillis 5,2 m

Surface 72 m<sup>2</sup>  
Volume 500 m<sup>3</sup>

### Anéchoïcité

Fréquence de coupure de la salle <sup>(1)</sup> : 70 Hz

<sup>(1)</sup> fréquence à partir de laquelle le son décroît dans les conditions de champs libre.

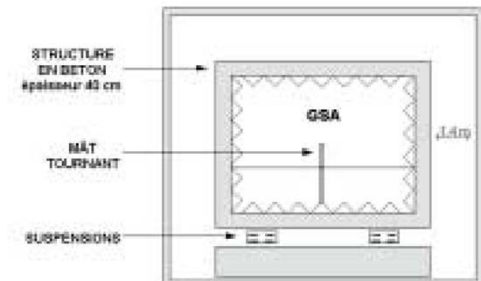
### Bruit de fond

< 20 dB (Lin) < 0 dB (A)  
dB (réf 20µPa)  
Sans ventilation

Structure de béton désolidarisée du bâtiment au moyen de 42 suspensions de type boîte à ressorts associées à 4 amortisseurs viscoélastiques.

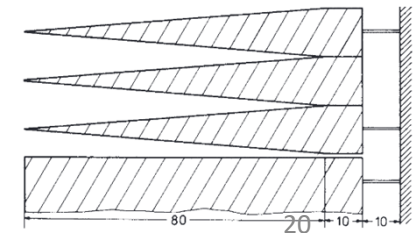
Fréquence propre  
verticale des suspensions 2,1 Hz

Epaisseur des parois 40 cm  
Densité du béton utilisé 2400 kg/m<sup>3</sup>  
Masse 721 Tonnes



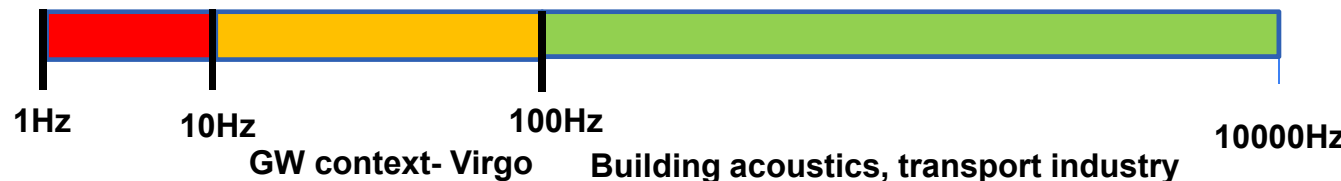
Densité de la laine de roche 80 kg/m<sup>3</sup>  
Fréquence de coupure \* 70 Hz  
Nombre de dièdres posés 3200  
Masse du revêtement 31 Tonnes

\* Fréquence la plus basse, à partir de laquelle le coefficient de réflexion, mesuré au tube à ondes stationnaires, d'un échantillon de dièdres (testé dans la configuration de montage) est inférieur à 0,1.

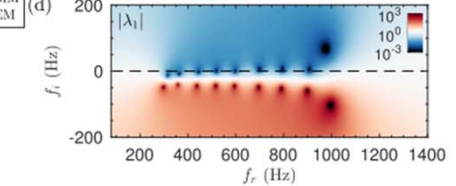
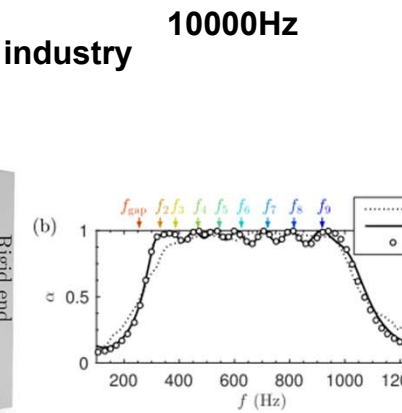
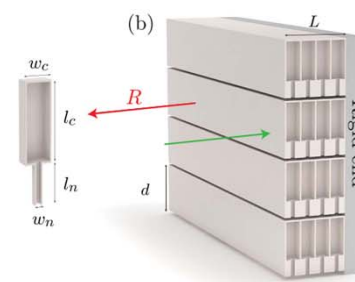
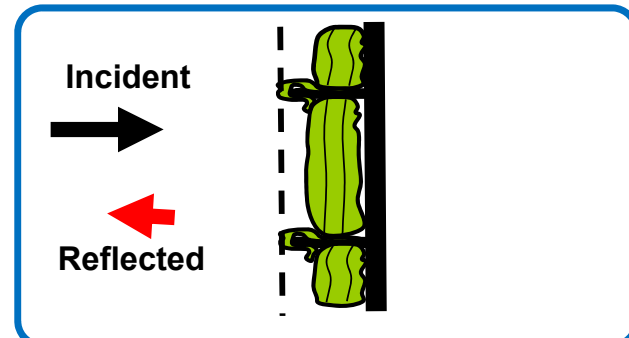


# Low frequency , broadband and thin acoustic metamaterial for acoustic insulation and absorption

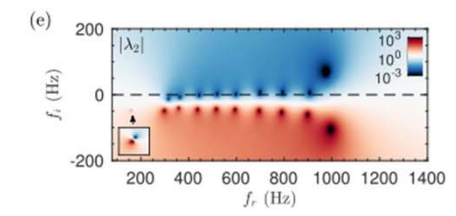
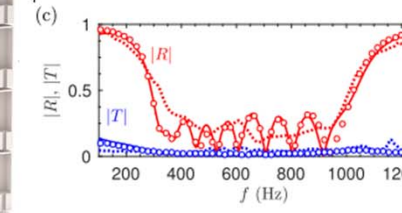
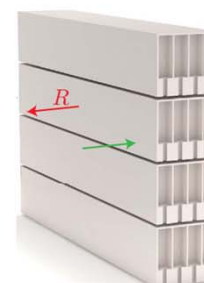
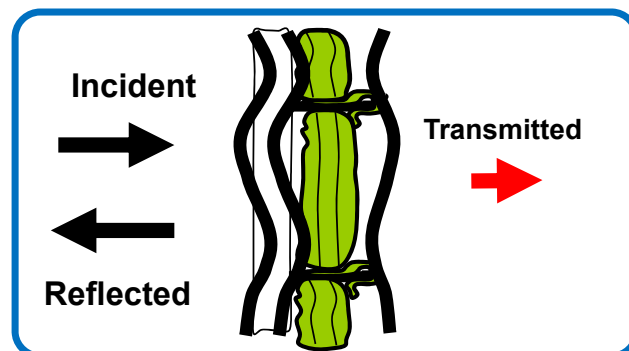
Very Low Freq. range    Low Freq. range    Audio range



Absorption  
problem

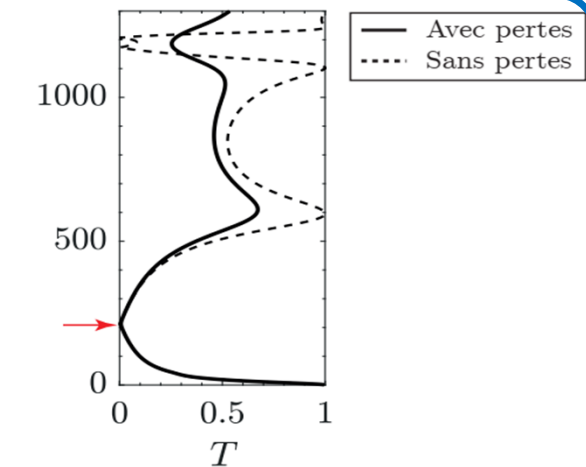
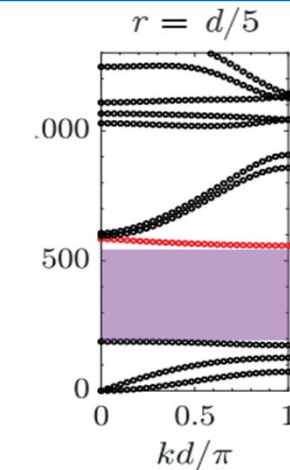
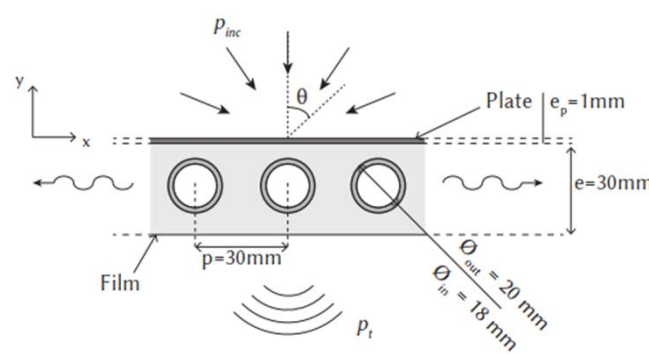


Insulation  
problem



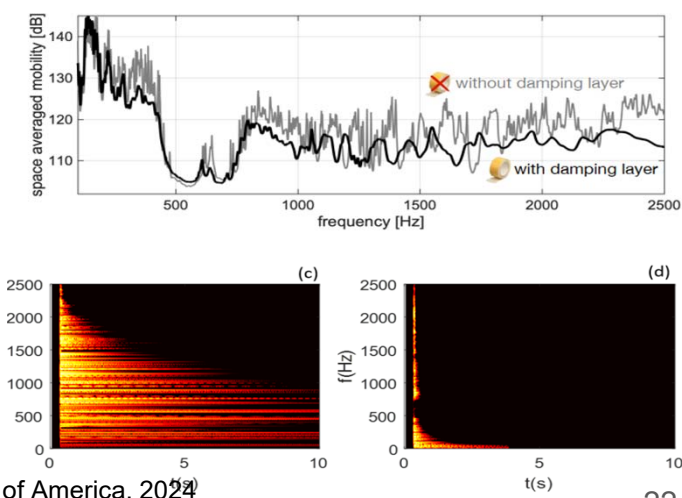
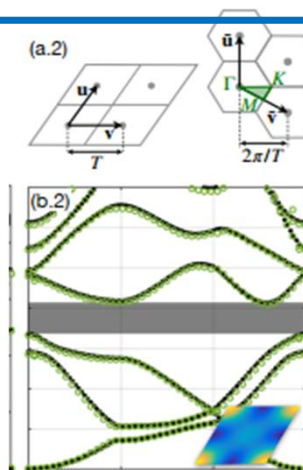
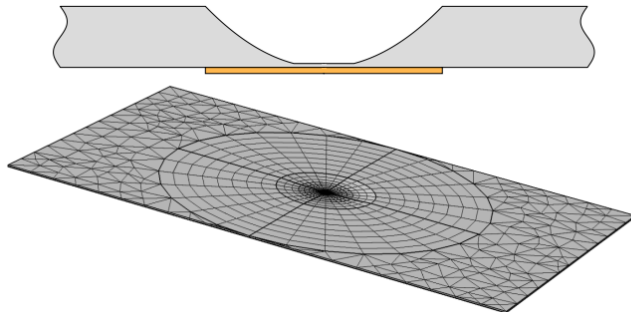
V. Romero-García et al., Design of acoustic metamaterials made of Helmholtz resonators for perfect absorption by using the complex frequency plane  
Comptes Rendus Physique, Volume 21, issue 7-8 (2020), p. 713-749. <https://doi.org/10.5802/crphys.32>

## Metablocker



N. Aberkane-Gauthier, Soft solid subwavelength plates with periodic inclusions: Effects on acoustic Transmission Loss, Journal of Sound and Vibration Volume 571, 17 February 2024, 118005

## Acoustic Black Hole effect



F. Gautier, Broadband vibration mitigation using a 2D Acoustic Black Hole Phononic crystal, Journal of the Acoustical Society of America, 2024

Merging the metablocker and the ABH 's ideas and adapting the design to low frequencies

## Acoustic Modeling : some concluding remarks

### 1 – Acoustic field in the NEB

- is dominated by HVAC noise
- is described by 25 modes below 30Hz
- The mean absorption coefficient  $\alpha = 0.1$
- Modal acoustic model of the NEB validated
- The leaks plays an important role in the very low frequency range (!)

### 2- HVAC acoustic source

- is represented by 2 equivalent pistons whose acoustic velocity is estimated from direct measurement
- is highly dependent on fan speed (power law).
- Inlets and outlets networks are equivalent to sets of acoustic monopoles

### 3- Recommandations

- Reduction of the fan speed !!!
- Thermal insulation needed to reduce the HVAC activity

### 4- Further works

- Acoustic modeling of (all) Virgo's experimental halls and ET's Caverns
  - Application 1 : estimation of the Newtonian noise (Master thesis M. Brun)
  - Application 2 : estimation of the viewport vibration => scattered light noise estimation
- Analysis of technical noises (PhD starting in Oct. 2024, Funding Le Mans University)
  - HVAC, Air Unit, water pumps, Cryostat...
  - Transfer Path analysis : Structure and Air borne sound, Monitoring
- Acoustic absorption / insulation
  - Specific design to be defined (PhD N. Ayyash, MSCA project Metavision, PhD 2024-2027)